图 版 说 明

第三章

照片 3.1 下石炭系摆佐组鲕状生物灰岩,×100

第四章

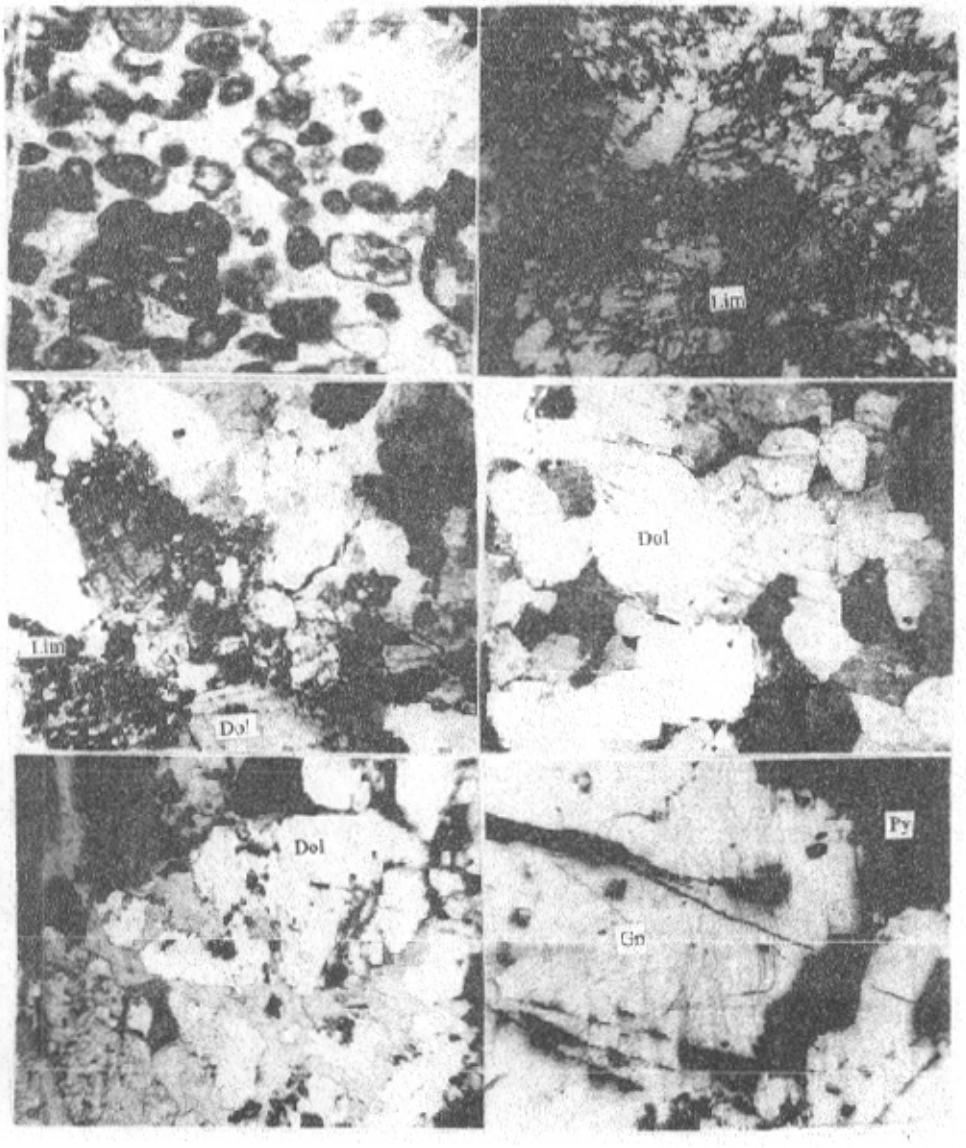
照片 4.1 早立方体或五角十二面体黄铁矿(Py)假象晶形的褐铁矿(Lim),×100
照片 4.2 褐铁矿(Lim)分布于粗晶白云岩中的白云石(Dol)晶间裂隙处,×100
照片 4.3 自形—半自形结构：白云石晶粒粗大，晶粒间紧密镶嵌接触,×100
照片 4.4 次生方解石(Cal)沿裂隙交代白云石(Dol),×100
照片 4.5 早期形成的黄铁矿(Py)被方铅矿(Gn)所包裹,×100
照片 4.6 银铁矾(Arj)被白云石（Dol）所包裹，a 为 Ag 的背射电子成分相.×220
b 为 Ca 的 X 射线面分布图,×220
照片 4.7 方解石(Cal)的晶面受压应力作用形成定向裂理,×100
照片 4.8 原生白云石(Dol)呈自形和半自形等粒状,×100
照片 4.9 白云石(Dol)常被方解石(Cal)交代成港湾状,×100

第五章

照片 5.1 在 Pb-Zn-Ag 矿石中的螺硫银矿(Acan)呈叶片状分布于方铅矿(Gn)中,
Ag 的 X 射线面分布图,×720
照片 5.2 在 Pb-Zn-Ag 矿石中的螺硫银矿(Acan)呈靴状分布于方铅矿(Gn)中
a 为 Ag 的背射电子成分相×540，b 为 Ag 的 X 射线面分布图,×540
照片 5.3 螺硫银矿(Acan)被包裹于褐铁矿(Lim)中，褐铁矿(Lim)保留氧化前黄铁矿的晶形
a 为 Ag 的背射电子成分相×540，b 为 Ag 的 X 射线面分布图,×540
照片 5.4 银黝铜矿(Frei)被后期碳酸盐脉穿插时成龟裂状
a 为 Ag 的背射电子成分相×360，b 为 Ag 的 X 射线面分布图,×360
照片 5.5 硫锑铜银矿(Poly)呈叶片状分布于方铅矿(Gn)
a 为 Ag 的背射电子成分相×540，b 为 Ag 的 X 射线面分布图,×540
照片 5.6 角银矿(Chlo)呈胶体状分布于土状的褐铁矿(Lim)中，表面因氧化呈黑色被膜状
a 为 Ag 的背射电子成分相×540，b 为 Ag 的 X 射线面分布图,×540
照片 5.7 银铁矾(Arj)常分布于土状氧化矿石中，镜下能见到银铁矾被包裹于白云石(Dol)
中,a 为 Ag 的背射电子成分相×720，b 为 Ag 的 X 射线面分布图,×720

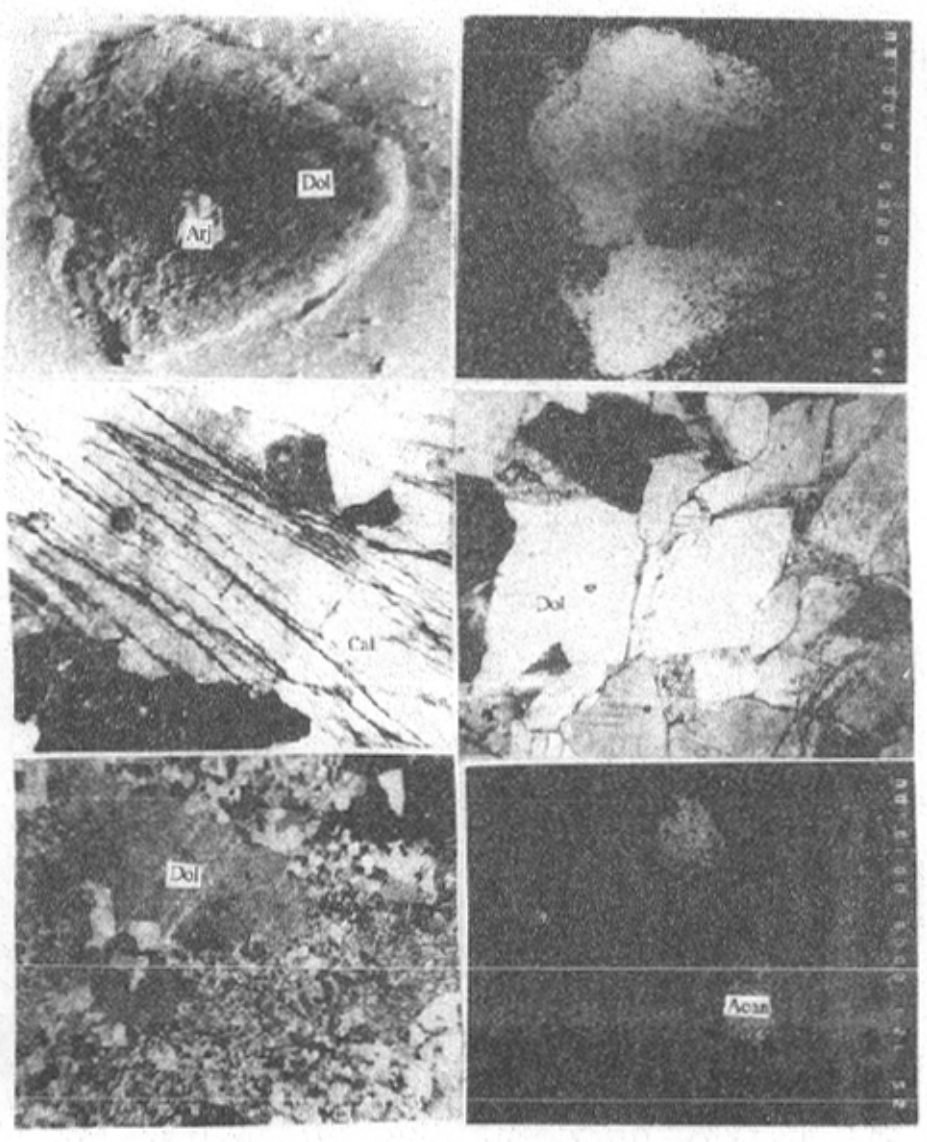
第七章

照片 6.1 方解石中(Cal)流体包裹体呈扁豆状和管状,×300
照片 6.2 方解石(Cal)成群分布的液滴状、椭圆状和不规则状液体包裹体,×300
照片 6.3 分布于方解石(Cal)中的板状、长管状液相包裹体,×300
照片 6.4 闪锌矿(Sp)中的圆形气液包裹体定向排列,×200



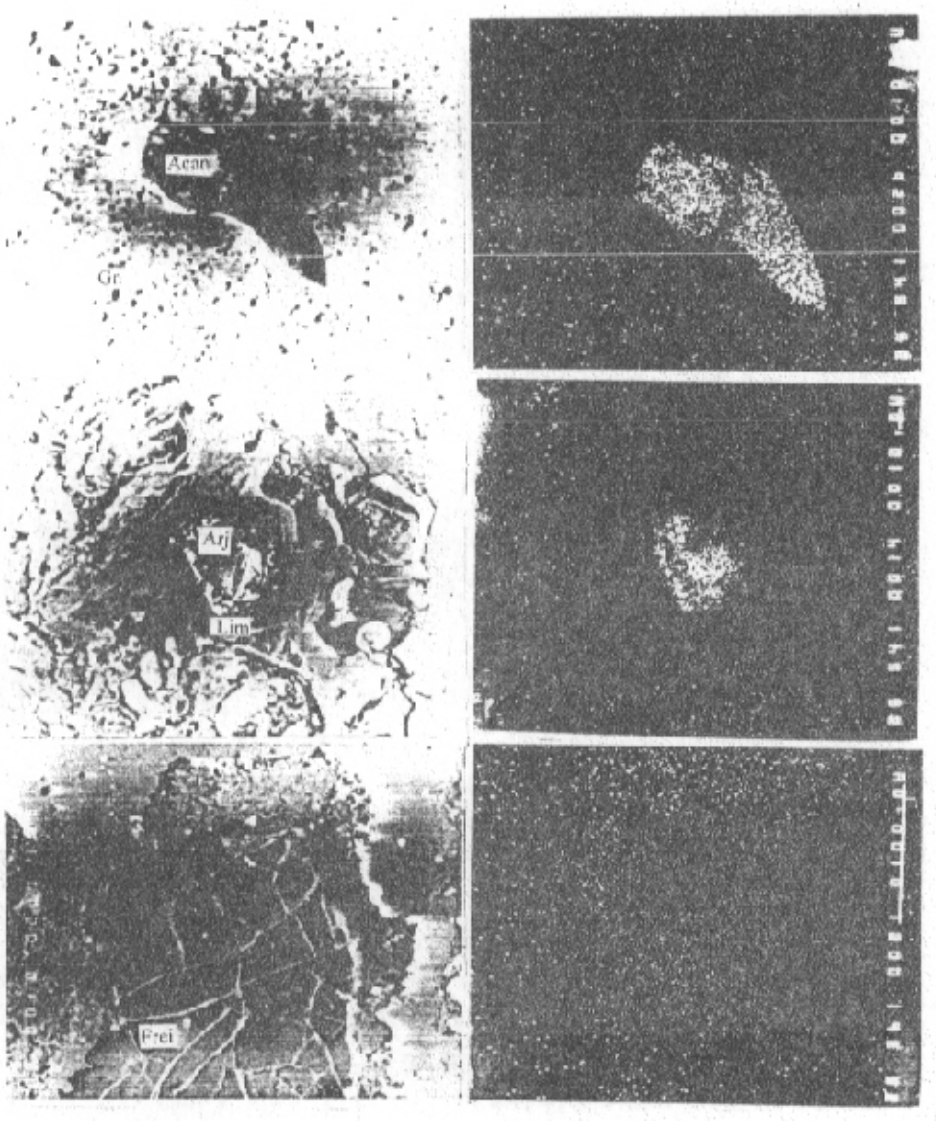
照片 3.1 (上)
左： 照片 4.2 (中)
照片 4.4 (下)

照片 4.1 (上)
右： 照片 4.3 (中)
照片 4.5 (下)



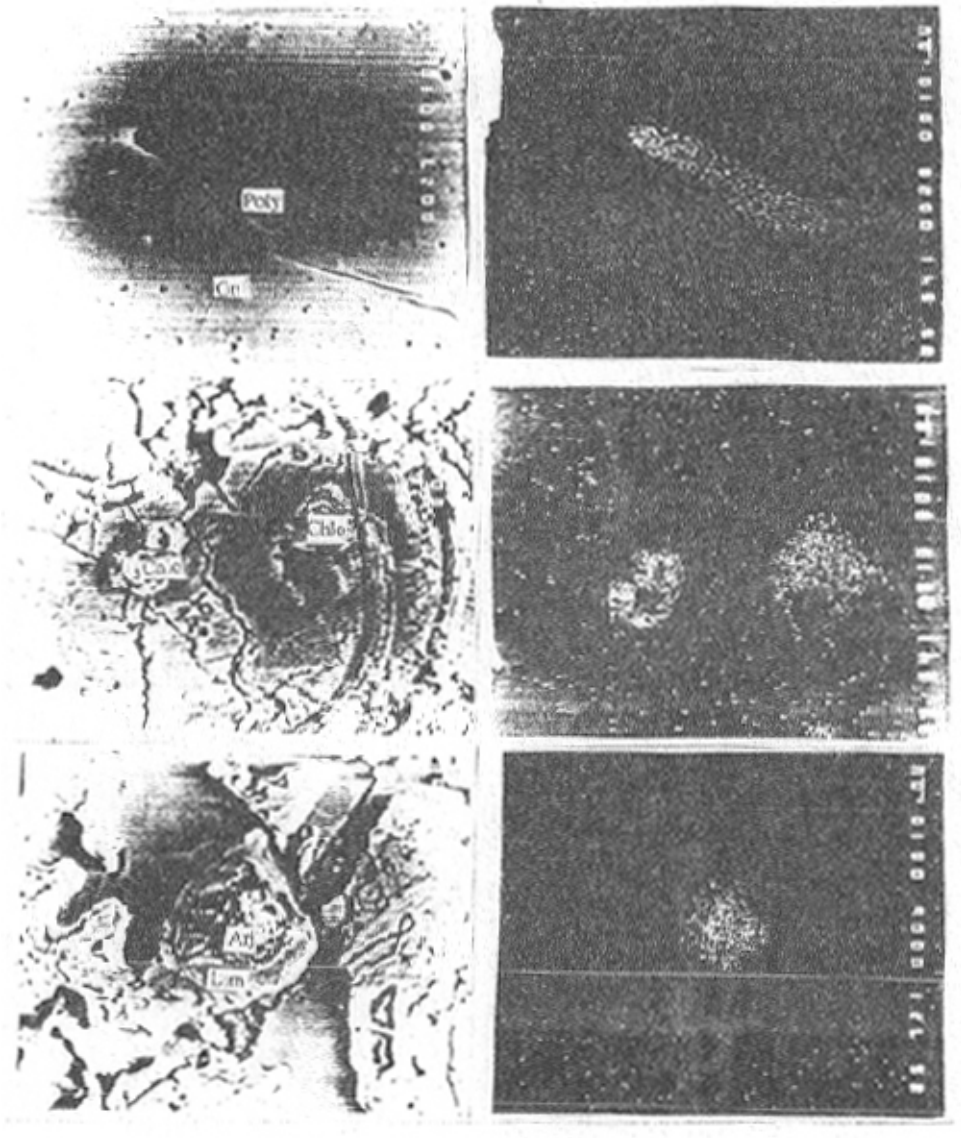
左：照片 4.6a (上)
照片 4.7 (中)
照片 4.9 (下)

右：照片 4.6b (上)
照片 4.8 (中)
照片 5.1 (下)



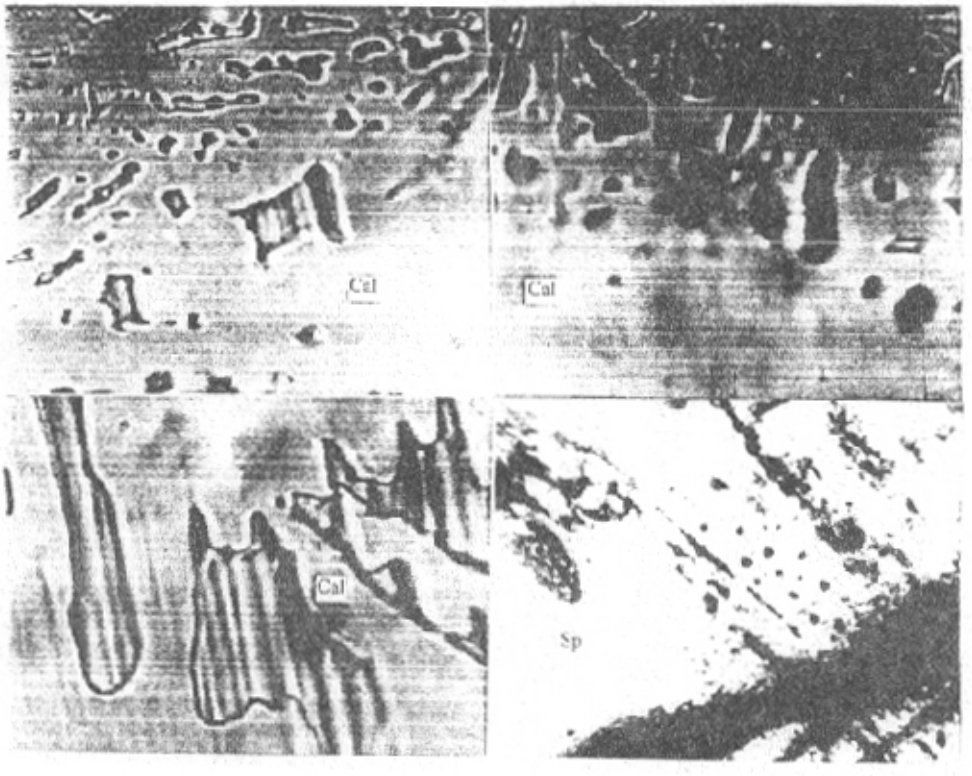
照片 5.2a (上)
左： 照片 5.3a (中)
照片 5.4a (下)

照片 5.2b (上)
右： 照片 5.3b (中)
照片 5.4b (下)



照片 5.5a (上)
左： 照片 5.6a (中)
照片 5.7a (下)

照片 5.5b (上)
右： 照片 5.6b (中)
照片 5.7b (下)



左：　照片 6.1 (上)
　　照片 6.4 (下)

照片 6.2 (上)
照片 6.3 (下)